

ΕΦΑΡΜΟΓΗ ΡΕΟΛΟΓΙΚΩΝ ΣΤΟΙΧΕΙΩΝ ΕΙΣ ΠΡΟΒΛΗΜΑΤΑ ΠΥΚΝΟΠΟΙΗΣΕΩΣ

Υπό ΝΙΚΟΛ. Ν. ΑΜΒΡΑΖΗ, Άγρ. Τοπ. Μηχαν.
Ε. Μ. Π. Δρος Πολιτ. Μηχαν. Πανεπ. Λονδίνου.

Ἐδάφη, ὑποκείμενα εἰς φόρτισιν, ἐμφανίζουν χαρακτηριστικὰ ἀφ' ἑνὸς μὲν μὴ γραμμικῆς παραμορφώσεως, ἀφ' ἑτέρου δὲ ὑστερήσεως καὶ ἐρπυμοῦ. Τὰ χαρακτηριστικὰ ταῦτα, τὸσον δι' ὑλικά τῶν ὁποίων αἱ τάσεις εἶναι ἐνεργοὶ ὅσον καὶ δι' ὑλικά τῶν ὁποίων αἱ τάσεις πῶρων ἦθελον ἀναπτυχθῆ κατά τὴν διάρκειαν φορτίσεως, δὲν δύνανται πάντοτε νὰ ἐρμηνευθῶσι διὰ μαθηματικῶν νόμων.

Ἡ ἀπλουστερά τῶν περιπτώσεων ἐμφανίζεται ὅταν τὸ ἔδαφος εἶναι κεκορεσμένον ὕδατος. Οἰαδήποτε μεταβολὴ τοῦ ὄγκου τοῦ ἐδάφους θὰ προϋπέθετε τὴν ἀπορροὴν ὕδατος ἐκ τῶν πόρων του καὶ ὁ νόμος τοῦ Darcy ἦθελεν ἰσχύσει. Ἐξ ἄλλου, ἐὰν ὑποθέσωμεν τὸ ὕδωρ τῶν πόρων ἀσυμπύστον, οὐδεμία ποσότης ἐνεργείας δύνανται νὰ συσσωρευθῆ ἐντὸς τούτου.

Ἡ συμπεριφορὰ κεκορεσμένων ἐδαφῶν εἰς στατικά φορτία, καὶ ἡ ἐκ τούτων προκαλουμένη πυκνοποίησις, ἀπὸ ἐτῶν εὐρίσκεται εἰς προκεχωρημένον στάδιον ἐρεύνης. Σημαντικὰ στοιχεῖα εἶναι ἤδη γνωστὰ ὅσον ἀφορᾷ τὸ πρωτεύον στάδιον πυκνοποίησεως, διὰ ἓνα μεγάλον ἀριθμὸν χαρακτηριστικῶν ὀριακῶν συνθηκῶν ἀποστραγγίσεως (1). Ἡ ἐρευνα διὰ τὸ δευτερεύον στάδιον πυκνοποίησεως δὲν ἔχει ἀκόμη δώσει σαφεῖς ἐνδείξεις ὅσον ἀφορᾷ τὸν μηχανισμόν πυκνοποίησεως τοῦ ὑλικοῦ.

Ἐσχάτως, τῇ βοηθείᾳ ρεολογικῶν στοιχείων (2), ἐπετεύχθη μικρὰ πρόοδος (3), ἀλλ' ὁ υἱοθετηθεὶς τύπος τῶν στοιχείων δὲν εἶναι μοναδικός. Ὡς ἐκ τούτου σοβαραὶ ἀντιρρήσεις ἐξεφράσθησαν ὡς πρὸς τὴν μοναδικότητα τῆς ἀπεικονίσεως τοῦ μηχανισμοῦ τῆς δευτερευούσης πυκνοποίησεως διὰ ρεολογικῶν στοιχείων.

Περιοριζόμενοι εἰς τὸ πρωτεύον στάδιον πυκνοποίησεως κεκορεσμένων ἐδαφῶν, δυνάμεθα νὰ εἴπωμεν, ὅτι οἱ φυσικοὶ νόμοι οἱ διέποντες τὸ φαινόμενον ἔχουσιν ἐρμηνευθῆ καὶ οἱ ἐξ αὐτῶν ἀπορρέοντες τύποι ὑπολογισμοῦ τῶν χαρακτηριστικῶν πυκνοποίησεως εἶναι ἀρκούντως ἱκανοποιητικοί.

Εἰς ἐδάφη πολὺ χαμηλῆς ὑγρασίας, αἱ ὑπάρχουσαι θεωρίαι πυκνοποίησεως κεκορεσμένων ἐδαφῶν σαφῶς δὲν ἰσχύουν καὶ τὸ πρόβλημα τοῦ ὑπολογισμοῦ ἔστω καὶ τῆς πρωτεύουσας πυκνοποίησεως εἶναι λίαν δυσχερές. Πολλάκις, τοιαῦτα ἐδάφη φορτιζόμενα θεωροῦνται ὑπεύθυνα διὰ μίαν ἀκαριαίαν ἀρχικὴν μεταβολὴν εἰς ὄγκον, μὴ δεικνύοντα περαιτέρω μεταβολὴν σὺν τῇ παρόδῳ τοῦ χρόνου. Ἡ ἐρευνα τοιοῦτου προβλήματος, ἀπὸ τῆς ἀπόψεως εὐρέσεως φυσικοῦ νόμου διὰ τὴν συμπεριφορὰν τοῦ ὑλικοῦ, εἶναι δυσχερεστάτη, εἰ μὴ ἀδύνατος. Μεγάλος ἀριθμὸς πειραμάτων μετὰ στατικῆς ἀναλύσεως τῶν ἀποτελεσμάτων δύνανται ἐμπειρικῶς νὰ μάς πληροφορήσῃ περὶ τῆς συμπεριφορᾶς τῶν ἐξετασθέντων ἐδαφῶν εἰς φόρτισιν καὶ πιθανῶς περὶ ἐτέρων ἐδαφῶν διαθετόντων παρόμοια χαρακτηριστικά.

Γενικῶς ἡ προκύπτουσα δυσκολία εὐρέσεως μαθηματικοῦ νόμου συμπεριφορᾶς μὴ κεκορεσμένων ἐδαφῶν εἰς φόρτισιν ἔγκειται εἰς τὸ ὅτι μία φόρτισις ἀφ' ἑνὸς μὲν θὰ προκαλέσῃ ἀκαριαίαν ἐλάττωσιν τοῦ συντελεστοῦ κενῶν, ἀφ' ἑτέρου δὲ, διὰ κάποιαν χαρακτηριστικὴν τιμὴν τοῦ συντελεστοῦ τούτου, θὰ ἀποκλείσῃ τὴν ἐλευθέραν ἐπικοινωνίαν τῶν πόρων μετὰ τοῦ ἐλευθέρου περιβάλλοντος. Οὕτω, θὰ προκαλέσῃ τὴν ἀνάπτυξιν μικτῶν τάσεων, τὸσον εἰς τὸ ὕδωρ, ὅσον καὶ εἰς τὸν ἀέρα τῶν πόρων. Ἀκολουθῶν αἱ μικτὰ αὐτὰ

τάσεις τοῦ ρευστοῦ τῶν πόρων διαχεόμεναι θὰ προκαλέσουν περαιτέρω πυκνοποίησιν τοῦ ἐδάφους, σαφῶς ἀνευ σημαντικῆς αὐξήσεως τῆς ὑγρασίας τοῦ ἐδάφους.

Ἡ εὐρεσις τοῦ σημείου πυκνοποίησεως, κατὰ τὸ ὅποιον θὰ διακοπῆ πᾶσα ἐλευθέρα ἐπικοινωνία τῶν πόρων μετὰ τοῦ ἐλευθέρου περιβάλλοντος, εἶναι δυσχερεστάτη. Πλεῖστα ὄσα χαρακτηριστικὰ τοῦ ἐδάφους γνωστὰ κατὰ τὴν ἀρχὴν τῆς φορτίσεως θὰ ἔχουν, κατὰ τὴν ζητούμενην στιγμὴν ἀποκλεισμοῦ τῶν πόρων, μεταβληθῆ κατ' ἀγνωστον ποσότητα, ἰδίᾳ δὲ ὁ λόγος ἀέρος-ὑδατος τῶν πόρων. Ἐτέρα δυσκολία, ἀκόμη καὶ ἂν τὸ κρίσιμον σημεῖον πυκνοποίησεως ἦδύνατο νὰ εὐρεθῆ, προκύπτει ἐκ τοῦ ὅτι ἡ διὰ τῶν πόρων τοῦ ἐδαφικοῦ σκελετοῦ ροὴ δὲν θὰ ἀκολουθῆ πλέον τὸν νόμον τοῦ Darcy, καθ' ὅσον εἰς τὴν περίπτωσιν ταύτην θὰ ἔχωμεν ροὴν μίγματος ὕδατος καὶ ἀέρος, ἀμφοτέρων ὑπὸ πίεσιν. Ἡ φύσις τῆς ροῆς ταύτης ἐτι περιοσότερον περιπλέκεται λαμβανομένου ὑπ' ὄψιν ὅτι, ἐλάττωμένης τῆς οὐδετέρας πίεσεως τοῦ μίγματος τοῦ ρευστοῦ τῶν πόρων, ὁ ὄγκος τοῦ ἀέρος θὰ αὐξάνη, καὶ συνεπῶς τριχοειδεῖς τάσεις θὰ ἀναπτύσσωνται. Ἐπὶ πλέον δὲ, ὁ συντελεστὴς διαπερατότητος θὰ μεταβάλλεται, οὐχὶ μόνον συναρτῆσει τοῦ χρόνου, ἀλλὰ καὶ συναρτῆσει τῆς θέσεως τοῦ ἐξεταζομένου σημείου εἰς τὸ ἔδαφος. Δι' ὑψηλὰς οὐδετέρας τάσεις ἢ διάλυσις ποσότητος τοῦ ἀέρος εἰς τὸ ὕδωρ τῶν πόρων εἶναι δυνατὴ καὶ ὁ ὑπολογισμὸς τῆς ποσότητος ταύτης εἶναι ἐφικτός μόνον ὅταν αἱ οὐδέτεροι τάσεις εἶναι γνωσταί. Τοιοῦτόν τι ὅμως εἶναι δυσκολώτατον, ὅταν ληφθῆ ὑπ' ὄψιν ἡ παραξίς τριχοειδῶν τάσεων εἰς τὰς ὀριακὰς θέσεις ἀποστραγγίσεως, ὅποτε ὁ πειραματικὸς προσδιορισμὸς τῶν τάσεων πόρων εἶναι δυσκολώτατος καὶ μάλλον ἀνακριβής.

Γενικῶς, ἡ πυκνοποίησις μὴ κεκορεσμένων ἐδαφῶν δύνανται νὰ ἀναλυθῆ εἰς τὰς ἀκολουθοῦσας φάσεις :

α) Συμπύκνωσις τοῦ ἐδαφικοῦ σκελετοῦ μέχρις ἀποκλίσεως τῆς ἐπικοινωνίας πόρων - περιβάλλοντος ἅμα τῇ φορτίσει. Ἡ μεταβολὴ τοῦ ὄγκου τοῦ ἐδάφους κατὰ τὴν φάσιν ταύτην θὰ εἶναι ἀκαριαία. Ἐλαστικὰ χαρακτηριστικὰ τοῦ ἐδάφους μετὰ ὑστερήσεως θὰ εἶναι παρόντα.

β) Φόρτισις τοῦ σκελετοῦ, ὕδατος καὶ ἀέρος πόρων, με ἐλαστικὴν μεταβολὴν τοῦ ὄγκου τοῦ ἀέρος, καὶ συνεπῶς ἀκαριαίαν μεταβολὴν τοῦ ὄγκου τοῦ ὑλικοῦ. Διάλυσις ποσότητος ἀέρος εἰς τὸ ὕδωρ τῶν πόρων.

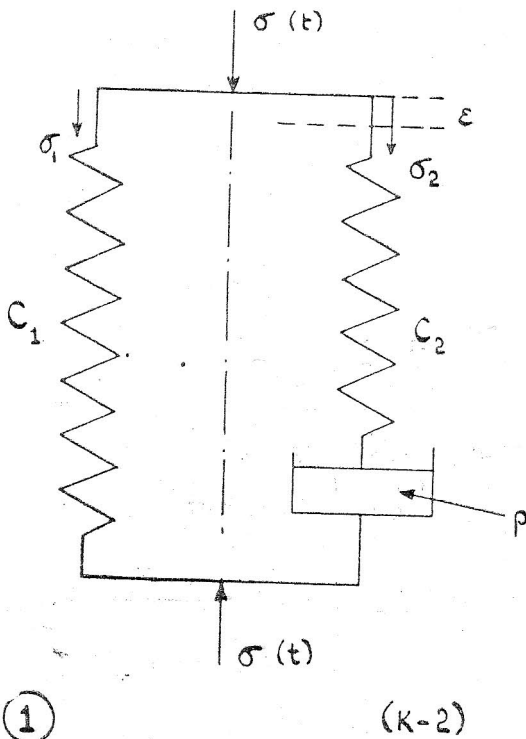
γ) Περαιτέρω μεταβολὴ τοῦ ὄγκου τοῦ ἐδάφους σὺν τῷ χρόνῳ, λόγω ἐκροῆς τοῦ ὕδατος - ἀέρος τῶν πόρων. Αὐξήσις τῶν τάσεων μεταξύ τῶν στερεῶν στοιχείων τοῦ σκελετοῦ τοῦ ἐδάφους. Αὐξήσις, σὺν τῷ χρόνῳ, τοῦ συμπυκνωθέντος ἀρχικῶς ὄγκου τοῦ ἀέρος τῶν πόρων, λόγω ἐλαττώσεως τῶν οὐδετέρων τάσεων, καὶ ἀπόκλισις τοῦ ρευστοῦ ἐκ τοῦ νόμου ροῆς τοῦ Darcy. Ἐγκατάστασις τριχοειδῶν τάσεων καὶ ἰσορροπία τῶν οὐδετέρων τάσεων διὰ τιμὰς τούτων διαφόρους τοῦ μηδενός.

Ἐκ τῶν τριῶν τούτων ἀπλουστευμένων φάσεων πυκνοποίησεως μὴ κεκορεσμένων ἐδαφῶν, αἱ δύο πρῶται θὰ εἶναι ἀνεξάρτητοι τοῦ χρόνου, ἐξαρτώμεναι μόνον ἐκ τῶν χαρακτηριστικῶν τοῦ ἐδάφους, ἡ δὲ τρίτη φάσις, ἐπὶ πλέον, συνάρτησις τοῦ χρόνου.

Μία προσέγγισις εἰς τὴν συμπεριφορὰν τοιοῦτου ὑλικοῦ κατὰ τὰς τρεῖς προσαναφερόμενας φάσεις δύναται

ται να απεικονισθή ρεολογικώς δια στοιχείου τύπου Kelvin (*) δύο ελατηρίων εν παραλλήλω (K-2). Τοιούτον στοιχείον κατέχει τρείς σταθεράς ικανάς να καλύψουν μεγάλην ποικιλίαν συμπεριφοράς υλικών εις στατικές και δυναμικές φορτίσεις.

Ας ύποτεθη στοιβάς εδάφους χαμηλής υγρασίας, πάχους H, αποτελουμένου εκ στοιχείων (K-2), εν τών όποιων εις την γενικήν θέσιν y ίσορροπεί την συνιστώσαν εξωτερικού φορτίου $\sigma(t)$, εις χρονικήν τινα στιγμήν t (Σχήμα 1). Υποθέσωμεν ότι τό πάχος της στοιβάδος H είναι άρκούντως μικρόν ούτως, ώστε ή



Σχ. 1

συνολική τάσις $\sigma(t)$ να είναι ανεξάρτητος του βάθους.

Αί ιδιότητες παραμορφώσεως στοιχείου (K-2) δύνανται να έκφρασθώσι, κατά τά γνωστά, δια τών ακόλουθων διαφορικών εξισώσεων :

$$\left. \begin{aligned} \sigma_1 + \sigma_2 &= \sigma(t) & (\alpha) \\ \frac{\partial s}{\partial t} &= c_1 \frac{\partial \sigma_1}{\partial t} & (\beta)^* \\ \frac{\partial s}{\partial t} &= \rho \sigma_2 + c_2 \frac{\partial \sigma_2}{\partial t} & (\gamma)^* \end{aligned} \right\} (1)$$

όπου $c_{1,2}$ = αντίστροφον μέτρου ελαστικότητας $[F]^{-1}[L]^2$
 ρ = αντίστροφον δυναμικού συντελεστού ιξώδους $[F]^{-1}[L]^2[T]^{-1}$

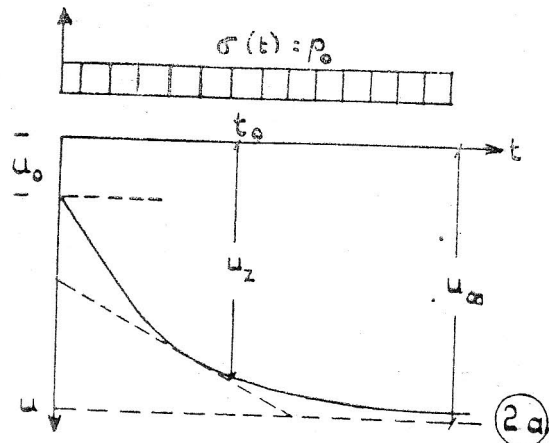
$\sigma(t)$ = τάσις $[F][L]^{-2}$

s = άνηγμένη παραμόρφωσις [1].

*) $\sigma_i = \sigma_i(y, t)$ γενικώς.

Αί σταθεραί τών ελατηρίων c_1 και c_2 δύνανται να καλύψουν τās άκαριαίας μεταβολάς του H κατά τās δύο πρώτας φάσεις της πυκνοποίησης, ενώ ή σταθερά ιξώδους ρ τās μεταβολάς της τρίτης φάσεως.

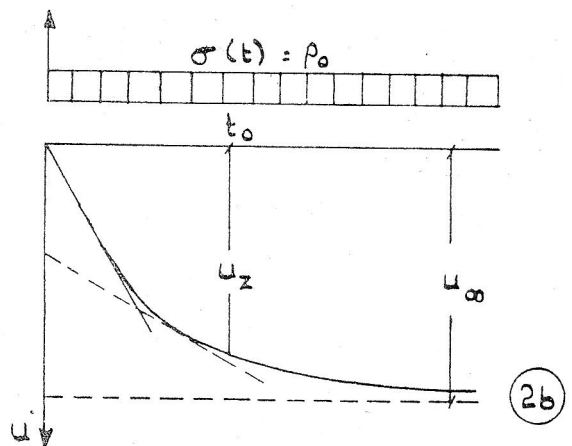
Ένταύθα ένδιαφερόμεθα δια την λύσιν τών εξισώσεων (1) ώς πρός την άνηγμένην παραμόρφωσιν s κατά την γενικήν χρονικήν στιγμήν t, την προκαλουμένην υπό τυχούσης φορτίσεως $\sigma(t)$.



Σχ. 2α

Η λύσις τών εξισώσεων (1) εύκόλως άποδεικνύεται ότι είναι :

$$s = \frac{c_1}{c_1 + c_2} \exp \left[\frac{-\rho t}{c_1 + c_2} \right] \int_0^{t_0} \exp \left[\frac{\rho t}{c_1 + c_2} \right] \left\{ \rho \sigma(t) + c_2 \frac{d\sigma(t)}{dt} \right\} dt \quad (2)$$

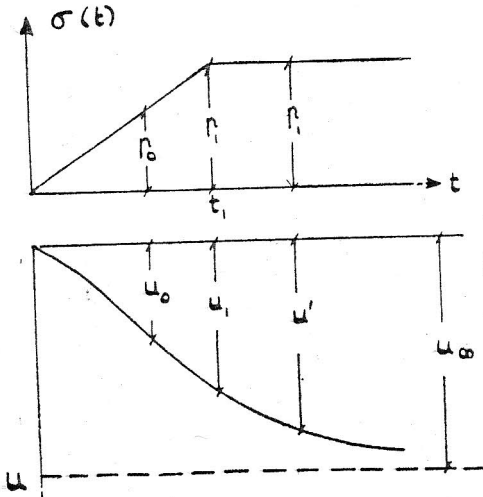


Σχ. 2β

Η σχέσις (2) παριστᾶ την παραμόρφωσιν στοιχείου (K-2) ύψους Δy υπό την επίδρασιν φορτίσεως $\sigma(t)$ κατά την γενικήν χρονικήν στιγμήν t. Προφανώς, δια στοιβάδα εδάφους πάχους H ή επί τοίς έκκατόν πυκνοποίησις εις χρονικήν στιγμήν t_0 θα δίδεται υπό της σχέσεως :

$$u_z = 100 \frac{\int_0^H s(t_0) dy}{\int_0^H s(\infty) dy} \% \quad (3)$$

Διά τόν προσδιορισμόν τής επί τοίς έκατόν πυκνοποίησης στοιβάδος προϋποτίθενται γνωσταί αι χαρακτηριστικά τιμαί c_1 , c_2 και ρ του έδάφους, ώς και



Σχ. 2γ

ό νόμος φορτίσεως $\sigma(t)$. Είς τήν έπεξεργασίαν τών κατωτέρω περιπτώσεων υποθέτομεν έγνωστάς τας τιμάς τών c_1 και ρ . (Διά τόν πειραματικών προσδιορισμόν τών

πάχους H εις χρονικήν τινα στιγμήν $t=0$ και παραμένει έκτοτε αναλλοίωτον εις έντασιν, Συνεπώς, έκ τών σχέσεων (2) και (3) διά $\sigma(t)=\rho_0$ έχομεν, ότι ή επί τοίς έκατόν πυκνοποίησις τής στοιβάδος εις χρονικήν τινα στιγμήν t_0 θα δίδεται υπό τής σχέσεως :

$$u_z = \left\{ 1 - \frac{c_1}{c_1 + c_2} \exp \left[\frac{-\rho t_0}{c_1 + c_2} \right] \right\} \% \quad (4)$$

Ή άκαριαία πυκνοποίησις ε_0 θα δίδεται υπό τής σχέσεως (4) διά $t_0=0$, ήτοι (Σχ. 2α) :

$$\varepsilon_0 = \frac{c_1 \cdot c_2}{c_1 + c_2} \cdot \rho_0 \quad (5)$$

Είς χρόνον $t \rightarrow \infty$ ή όλική πυκνοποίησις ε_∞ θα δίδεται υπό τής σχέσεως :

$$\varepsilon_\infty = c_1 \rho_0$$

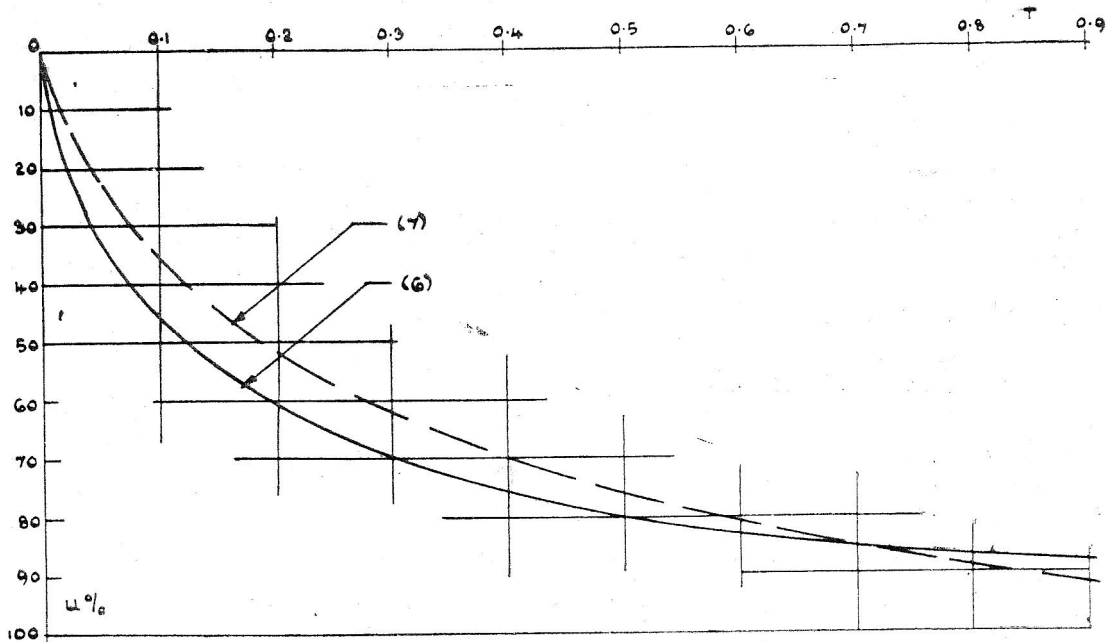
Περίπτωσης II.

Ύποθέσωμεν ότι ό συντελεστής δυναμικού ιξώδους εις τήν προαναφερθεϊσαν περίπτωσιν αύξάνει μετά του βάθους κατά τόν νόμον

$$\rho_0 = \rho y^{-2}$$

και ότι δέν ύφίσταται πεπερασμένη παραμόρφωσις του ύλικου κατά τήν στιγμήν φορτίσεως. Ή υπόθεσις αύτη άντιστοιχεί με τήν παράλειψιν τής 1ης φάσεως πυκνοποίησης, λόγω μη ύπαρχούσης έλευθέρας έπικοινωνίας πόρων - περιβάλλοντος και μεγάλης μεταβολής εις όγκον του άέρος πόρων.

Έκ τής (2) και (3) λαμβάνομεν διά τόν συντελεστήν πυκνοποίησης επί τοίς έκατόν τήν άκόλουθον έκφρασιν :



Σχ. 3α

σταθερών τούτων θα άσχοληθώμεν εις προσεχές άρθρον).

Περίπτωσης I.

Ύποθέτομεν, ότι το έξωτερικόν φορτίον ανά μονάδα έπιφανείας $\sigma(t)$ τίθεται επί στοιβάδος έδάφους

$$u_z = \left\{ 1 + (T\pi)^{1/2} - (1+2T) \exp(-T) + 4T^2 \sum_{n=1}^{\infty} (-1)^{n+1} \frac{T^{n-1}}{(2n+1)(n-1)} \right\} \% \quad (6)$$

δπου T είναι ο συντελεστής διαρκείας φορτίσεως

$$T = \frac{\rho_0 t_0}{c_1 H^2}$$

Κατά την ολοκλήρωσιν της (2) αϊ κατωτέρω σχέσεις πρέπει νά ληφθώσιν υπ' όψιν :

$$\int_0^\infty u^\alpha \cdot e^{-u} du = \left\{ \frac{1}{1+\alpha} (u^{\alpha+1} \cdot e^{-u}) + \frac{u^{\alpha+1}}{(1+\alpha)(2+\alpha)} \right\} \Big|_0^\infty +$$

$$+ \frac{1}{(1+\alpha)(2+\alpha)} \int_0^\infty u^{(2+\alpha)-u} \cdot e^{-u} du \quad \Gamma(\alpha) = \int_0^\infty x^{\alpha-1} \cdot e^{-x} dx,$$

$$\Gamma\left(\frac{2n+1}{2}\right) = \frac{(2n)!}{n! 2^{2n}} \sqrt{\pi}$$

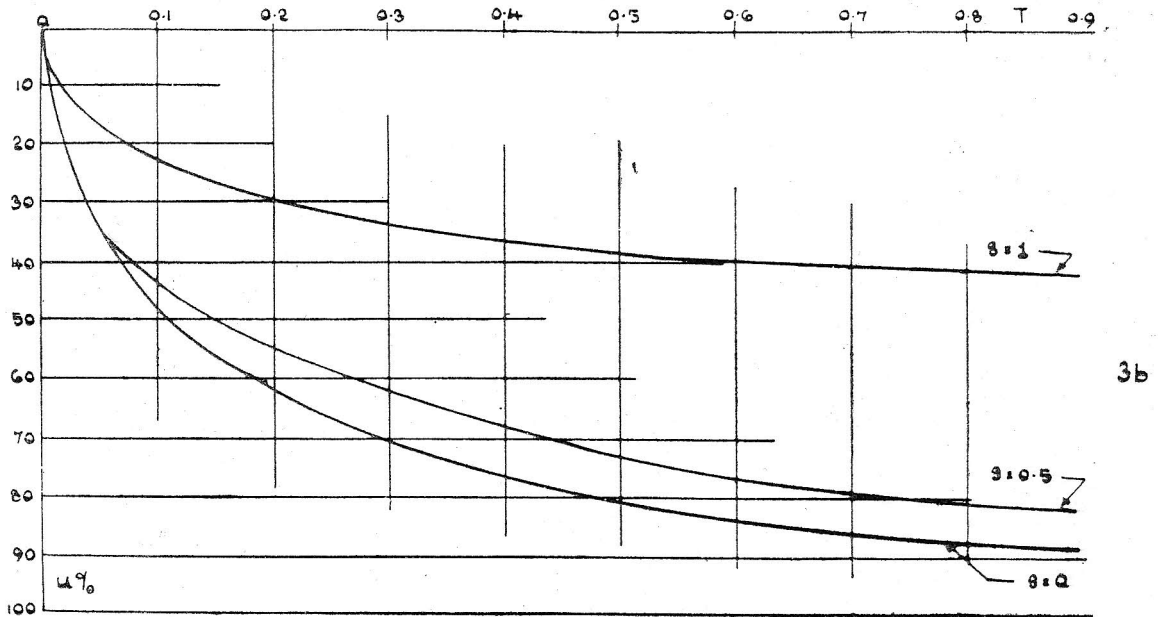
Ένδιαφέρουσα είναι ή σύγκρισις της έξισώσεως (6) μετά της σχέσεως διά τόν συντελεστήν πυκνοποιή-

Είς τό Σχήμα (3α) αϊ σχέσεις (6) και (7) έχαραχθησαν πρός παραβολήν. Είναι προφανές ότι ή σχέσις (6) άποτελεί ένα κατώτατον όριον, λόγω του υιοθετηθέντος νόμου μεταβολής του συντελεστού δυναμικού Ιξώδους διά τιμάς του T μικροτέρας της μονάδος. Έκ της (6) είναι δυνατόν νά προσδιορισθῆ ή καμπύλη πυκνοποιήσεως δι' έδάφη των οποίων αϊ χαρακτηριστικά τιμαί c και ρ είναι γνωσταί. Πάντως είναι προφανές ότι ή σχέσις (6) (Σχ. 3α) δύναται νά αλλάξῃ θέσιν ώς πρός τήν σχέσιν (7) του αυτού σχήματος αναλόγως της τιμής του συντελεστού

$$\mu = \frac{\rho}{c_1 \cdot c_v}$$

Περίπτωσης III.

Άς ζητήσωμεν τώρα τόν συντελεστήν πυκνοποιήσεως επί τοίς έκατόν στοιβάδος έδάφους, τό Ιξώδες του οποίου μεταβάλλεται μετά του βάθους ώς είς τήν προηγουμένην περίπτωσιν, όταν τό φορτίον πυκνοποι-



Σχ. 36

σεως δοθέντα υπό του Terzaghi διά κεκορεσμένα έδάφη (5) :

$$u_z = \left\{ 1 - \frac{8}{\pi^2} \sum_{n=1}^\infty \frac{1}{(2n+1)^2} \exp \left[\frac{-1}{4} (2n+1)^2 \cdot \pi^2 \cdot T_0 \right] \right\}^{0/10} \dots (7)$$

δπου $T_0 = \frac{c_v t_0}{H^2}$.

ήσεως αύξάνη γραμμικώς έκ του μηδενός κατά τήν χρονικήν στιγμήν $t=0$ μέχρι μιás ώρισμένης τιμής $\rho_1(t_1)$ και παραμένη έκτοτε σταθερόν. (Σχ. 2γ).

Είναι προφανές ότι ή άσυνέχεια φορτίσεως διά τήν χρονικήν στιγμήν t_1 καθιστά τήν αναλυτικήν λύσιν του προβλήματος δυσχερή, ή όποία όμως τῆ βοηθεία καταλλήλων σειρών, και κατόπιν διερευνήσεως της φύσεως της άνωμαλίας, δύναται νά άπομακρυνθῆ. Παραλειπομένων των μαθηματικών ύπολογισμών, αϊ έκφράσεις της επί τοίς έκατόν πυκνοποιήσεως διά τας χρονικάς περιοχάς $0 < t_1$, t_1 και $t > t_1$ είναι :

$t_1 > t \geq 0$

$$u_0 = \left(\frac{t}{t_1} \right) \frac{3 - \frac{1}{T} (1 - e^{-T}) + 2(T\pi)^{1/2} - 2(1+2T)e^{-T} + 8 \sum_{n=1}^{n-1} (-1)^n T^2 \frac{T^{n-1}}{(2n+1)(n-1)!}}{6 - \frac{1}{T_1} (1 - e^{-T_1}) + 2(T_1\pi)^{1/2} - 2(1+2T_1)e^{-T_1} + 8 \sum_{n=1}^{n-1} (-1)^n T_1^2 \frac{T_1^{n-1}}{(2n+1)(n-1)!}} \quad (8)$$

$$t = t_1$$

$$u_1 = \left\{ 1 - \left(\frac{3}{2} \right) \frac{\left[1 + 2T(1-s) \right] e^{-T(1-s)} - \sqrt{\pi(T-Ts)}^{1/2} + 4T^2(1-s)^2 \sum_{n=1}^{\infty} (-1)^{n+1} \frac{T^n (1-s)^{n-1}}{(2n+1)(n-1)!}}{3 - \frac{1}{2Ts} (1-e^{-Ts}) - (1-2Ts)e^{-Ts} + \sqrt{sT\pi} - 4s^2 T^2 \sum_{n=1}^{\infty} (-1)^{n+1} \frac{(Ts)^{n-1}}{(2n+1)(n-1)!}} \right\} \quad (9)$$

$$t > t_1$$

$$u' = \left\{ 1 - 3 \frac{(1+2T-2T_1)e^{-(T-T_1)} - \sqrt{\pi(T-T_1)} - 4(T-T_1)^2 \sum_{n=1}^{\infty} (-1)^n \frac{(T-T_1)^{n-1}}{(2n+1)(n-1)!}}{6 - \frac{1}{T_1} (1-e^{-T_1}) + 2\sqrt{\pi T_1} - 2(1+2T_1)e^{-T_1} + 8 \sum_{n=1}^{\infty} (-1)^n T_1^2 \frac{T_1^{n-1}}{(2n+1)(n-1)!}} \right\} \quad (10)$$

$$\delta\text{που} \quad s = \frac{t_1}{t} \quad \text{και} \quad T_1 = \frac{\rho_0 t_1}{c_1 \cdot H^2}$$

Διά διαφόρους θέσεις της άσυνεχούς φορτίσεως s , το Σχήμα 3β δίδει την πυκνοποίησην επί τοις εκατόν, εκ των άνωτέρω σχέσεων, ως συνάρτησιν του χρόνου διαρκείας φορτίσεως T .

ΒΙΒΛΙΟΓΡΑΦΙΑ

1. —Terzaghi K., «Erdbaumechnik». F. Deuticke, Vienna, 1925
- Terzaghi K., Fröhlich K. «Theorie der Setzung von Tonschichten». F. Deuticke, Vienna, 1936.
- Biot M., «General theory of three-dimensional consolidation» Journ. Appl. Phys., Vol. 12, p. 155 1941.
- Biot M., «Consolidation settlement under a rectangular load distribution» Journ. Appl. Phys., Vol. 12, p. 426, 1941.
- Biot M., Consolidation settlement of a soil with an impervious top surface». Journ. Appl. Phys., Vol. 12, p. 578, 1941.
- Carrillo N., «Simple two — and three—dimensional cases in the theory of consolidation of soils». Journ. Math. Phys., Vol. 21, Nr. 1, p. 1, 1942.
- Ishii Y., «The research on the subsidence of the ground in Osaka region». The Japan Sci. Review, Vol. 1, Nr. 4, p. 25, 1950.
- Helenelund K., «Om konsolidering og sättning av Belastade Merklager». Helsingfors 1951.
- Gibson R. E., «Numerical solutions of some problems in the consolidation of clay». Proc. Institution of Civil Eng., Nr. 5877, p. 182, London 1953.
- Biot M., «Theory of elasticity and consolidation for porous anisotropic solid». Journ. Appl. Phys., Vol. 26, p. 182, 1955.
- Biot M., «General solution of the equations of elasticity and consolidation for a porous material». Journ. Appl. Mech. Vol. 23, Nr. 1, p. 91, 1956.
- Gibson R. E., «The consolidation Settlement of a load uniformly distributed over a rectangle area». 4th Conf. Soil Mechanics, Vol. I, p. 297, London 1957.
2. —Gros B., «Mathematical structures of the theories of viscoelasticity». Herman, Paris 1953.
- Lee E., «Stress analysis in viscoelastic bodies». Report PA—TR/8 Brown University, 1955.
3. —Tan K., «Soil Properties». Session 2, 4th Conf. Soil Mechanics, Vol. 3, 3, p. III, p. 278, London 1957.
4. —Reiner M., «Deformation and flow». Lewis, p. 268, p. 281, London 1949.
5. —Terzaghi K., «Theoretical soil Mechanics». Wiley, p. 283, 1954.

APPLICATIONS OF RHEOLOGICAL MODELS TO VISCO - ELASTIC COMPLIANCE PROBLEMS

By N. N. AMBRASEYS, Ph. D. (LOND.), DIC.

A method of assessing whether or not the measured compliance with stressing for a visco-elastic material is consistent with a three-element model is presented. The application of this model to soil mechanics problems is acceptable, provided the soil structure is fully saturated and Darcy's law is duly taken into consideration.

For partly saturated soils under low stresses, the three element model was chosen since it is relatively

simple to analyse and exhibits the three main types of visco-elastic response, namely, instantaneous elasticity, viscous flow, and delayed elasticity. If the compliance measurements are found to conform with the behaviour of the three-element model over a part of the stress-time range, values for the element constants can be determined and certain behaviouristic properties of the material can be disclosed.